

1/14

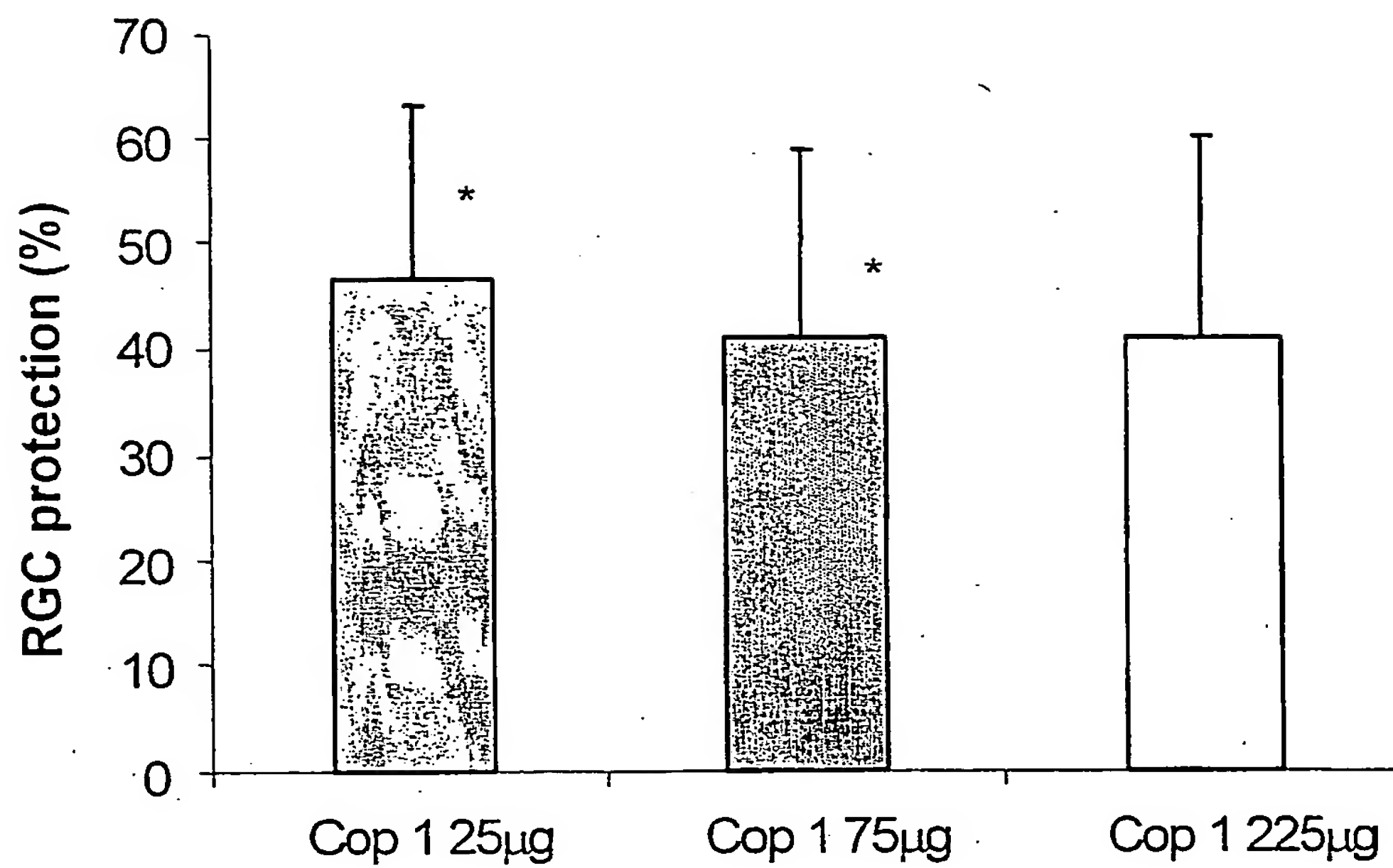


Fig. 1

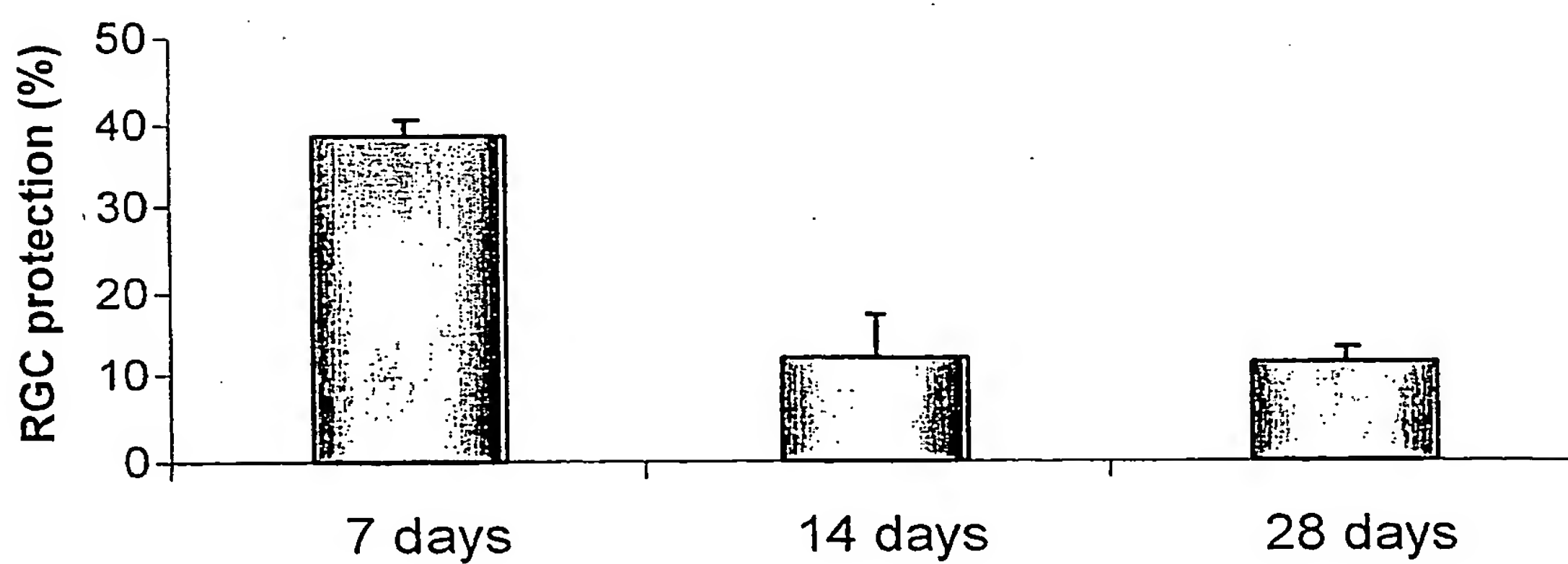


Fig. 2

2/14

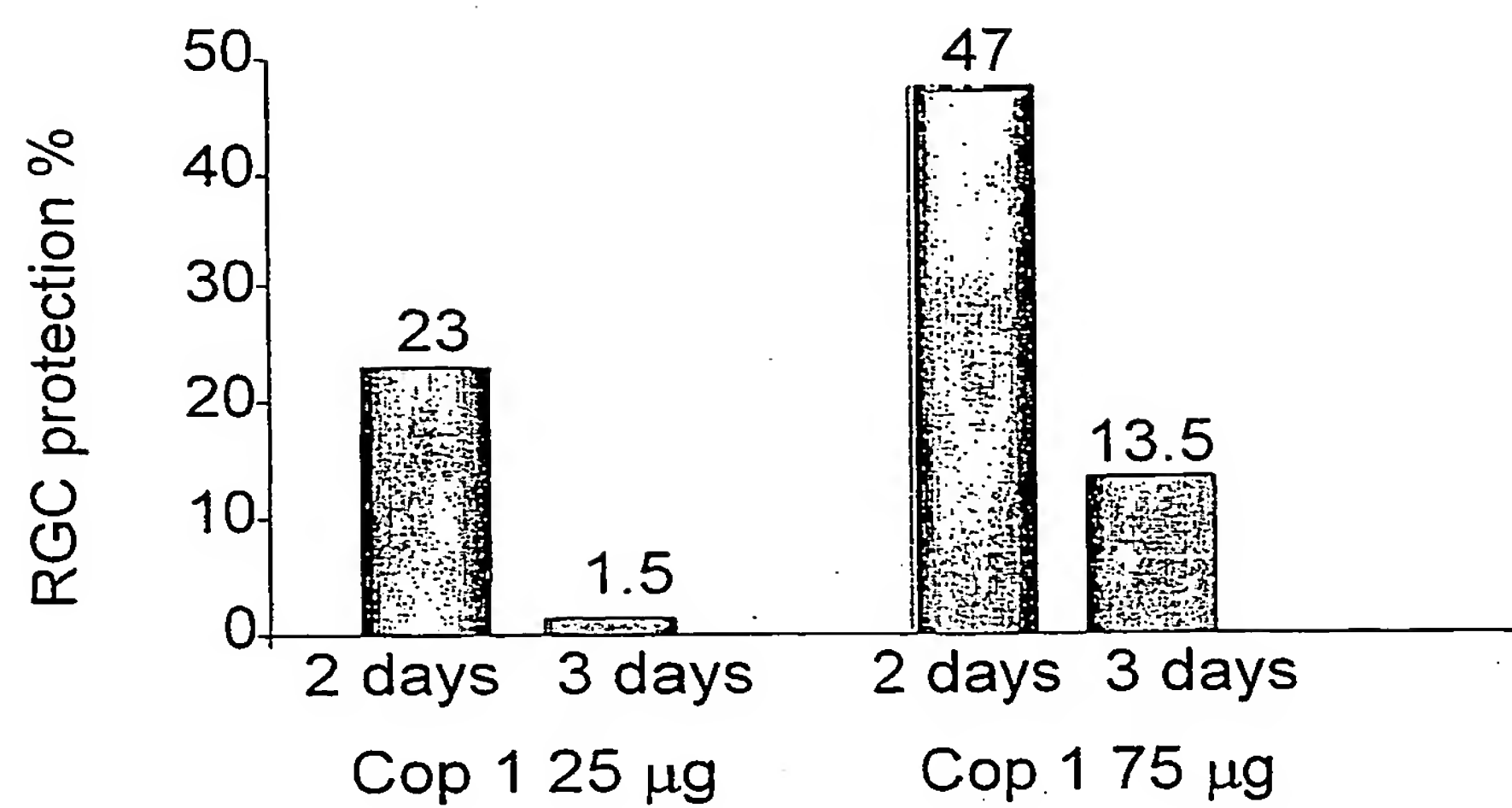


Fig. 3

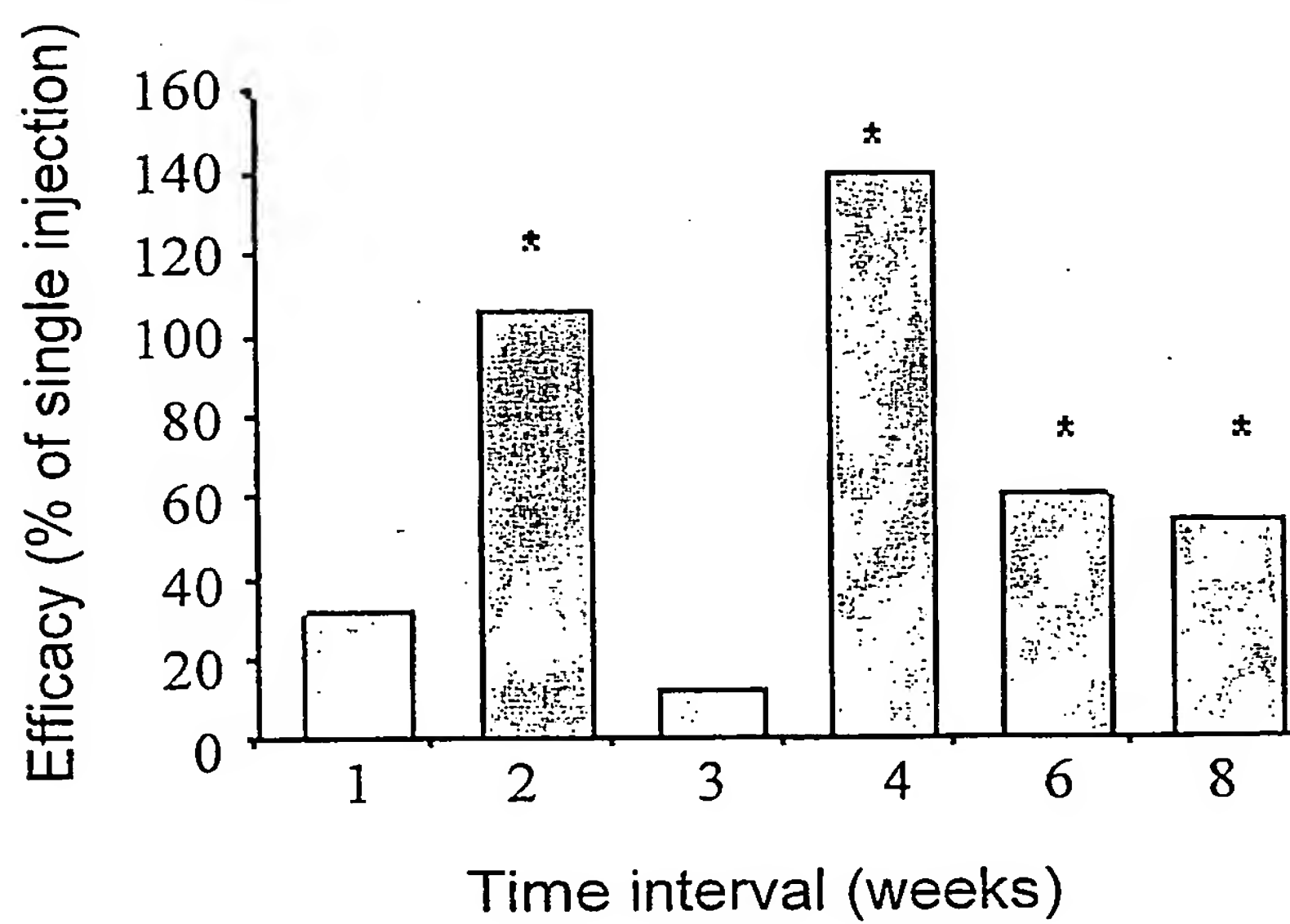


Fig. 4

3/14

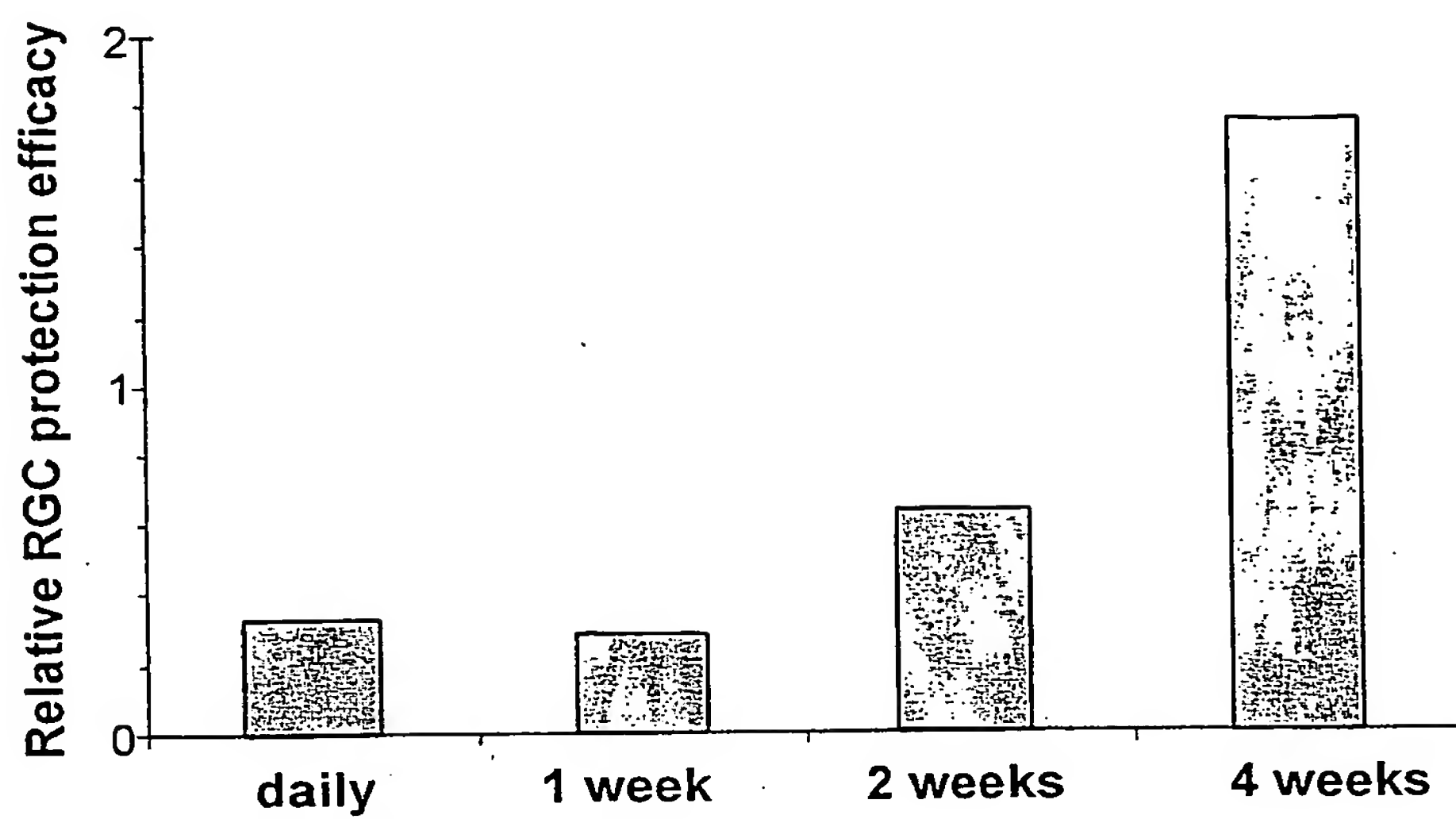


Fig. 5

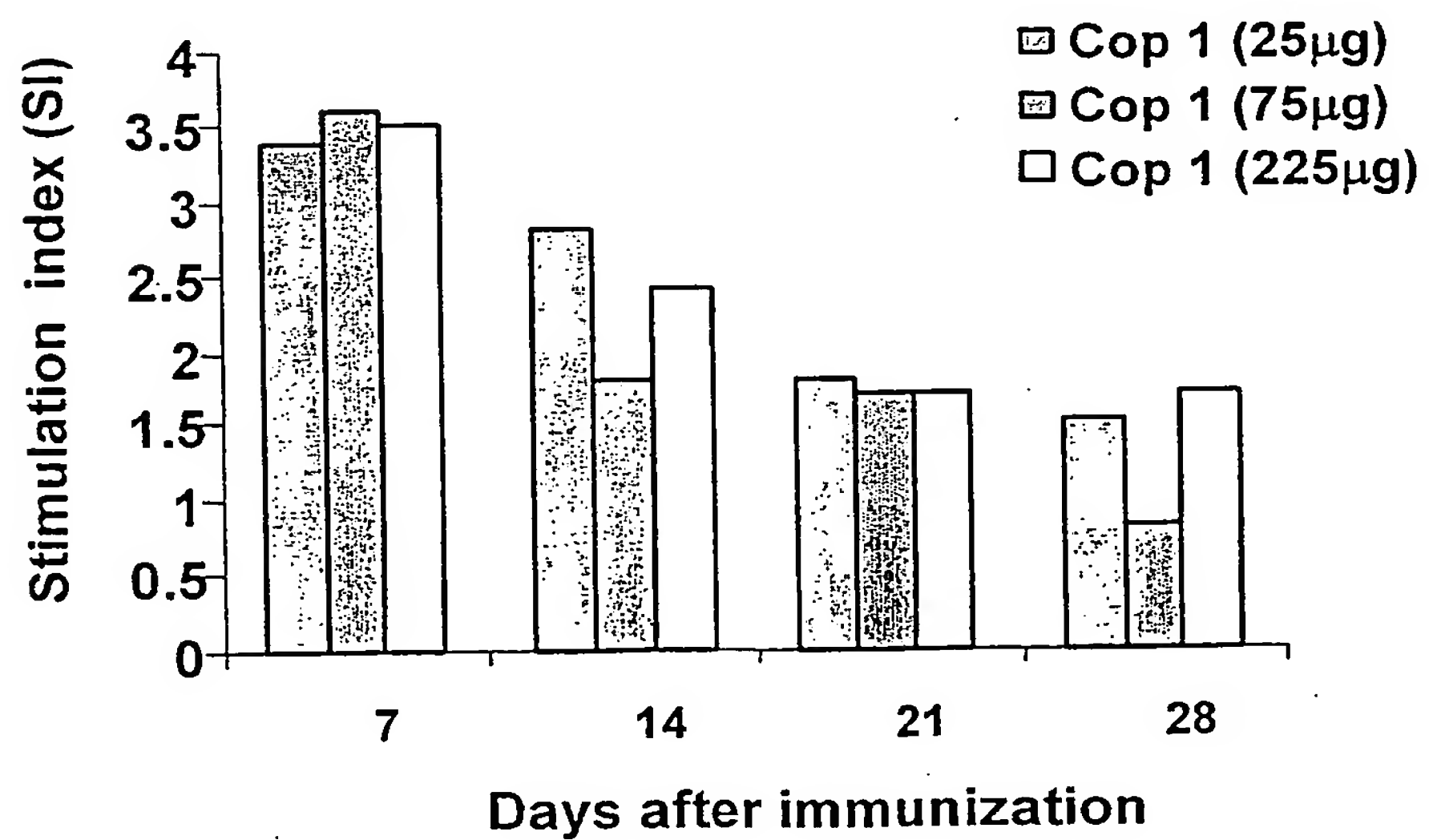


Fig. 6

4/14

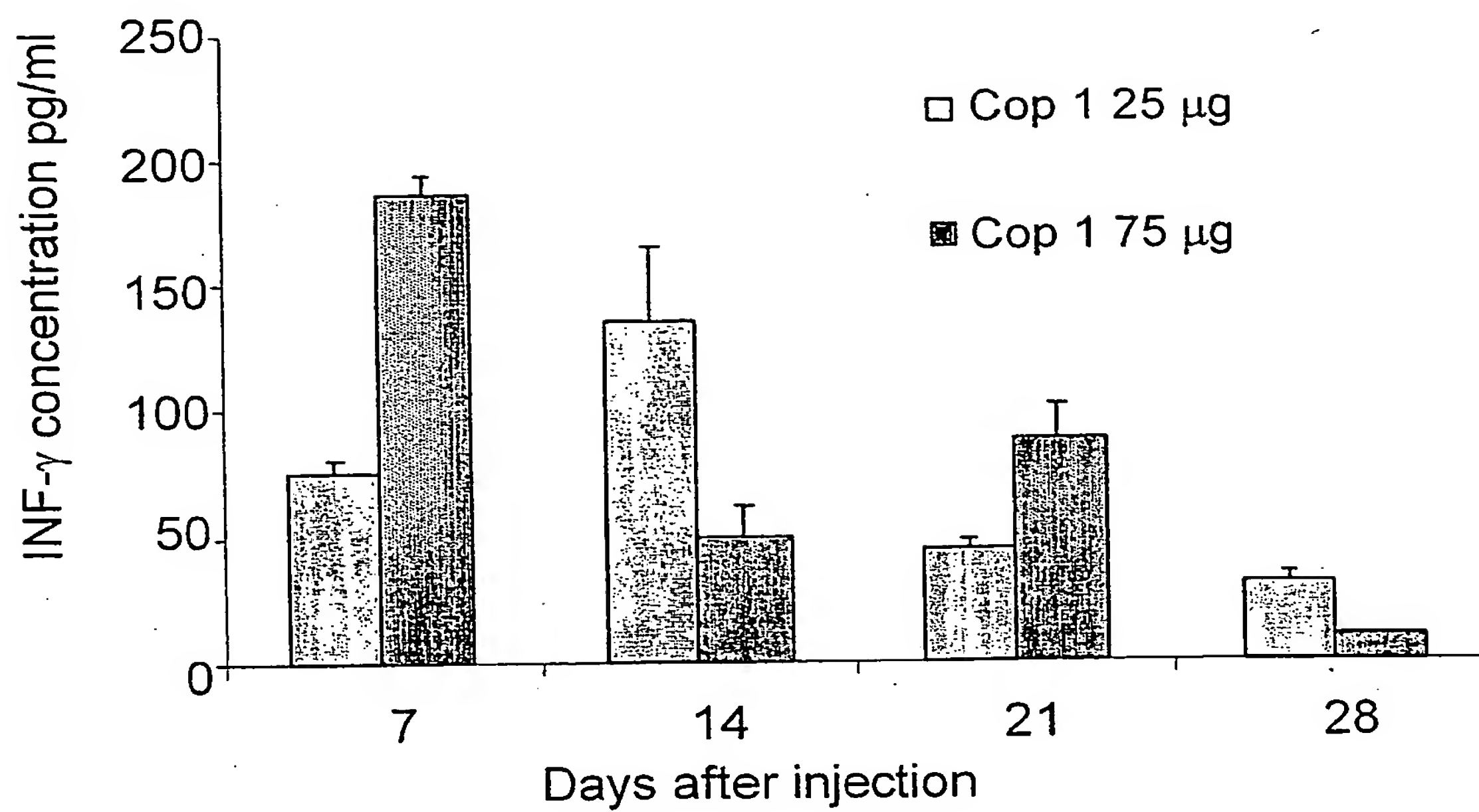


Fig. 7

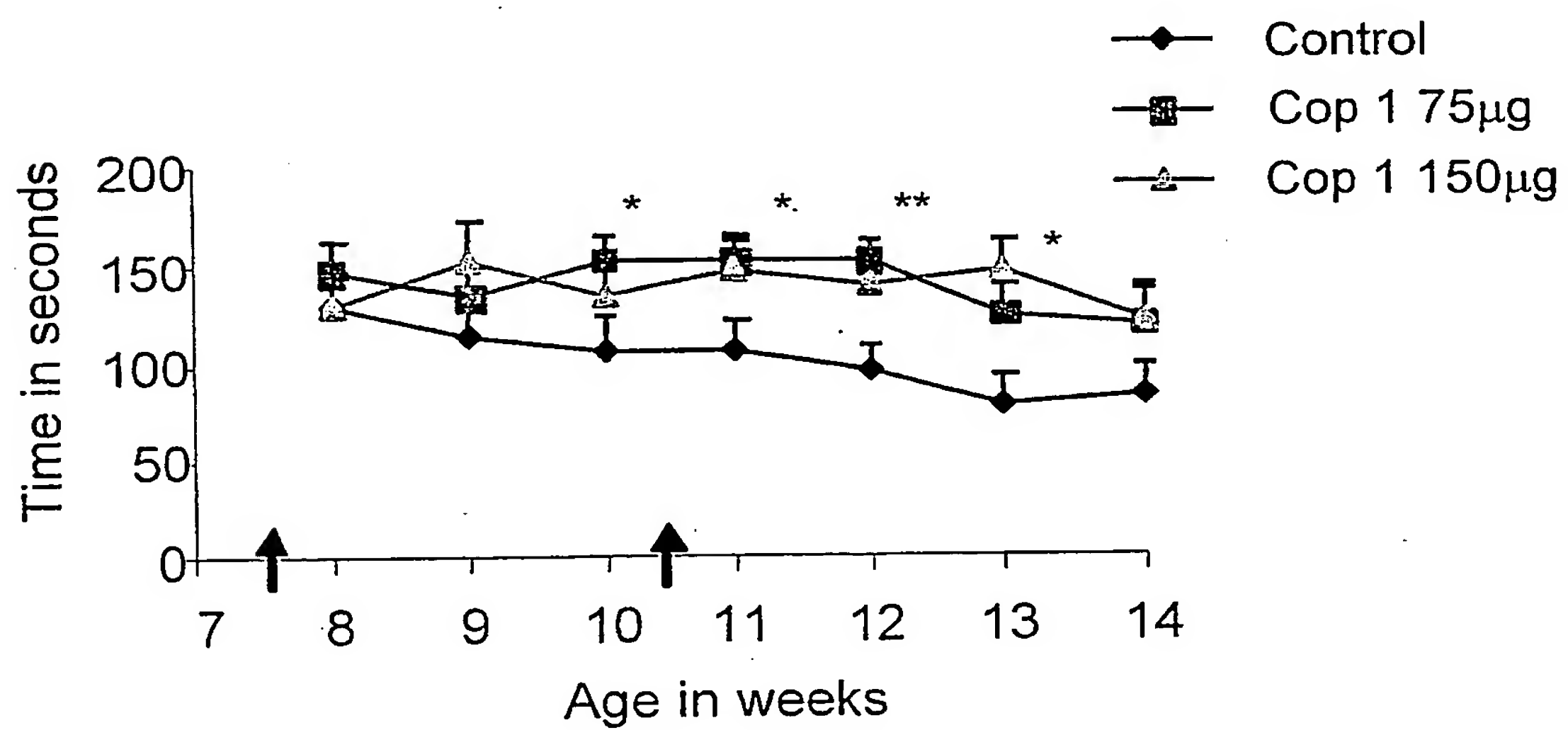


Fig. 8

5/14

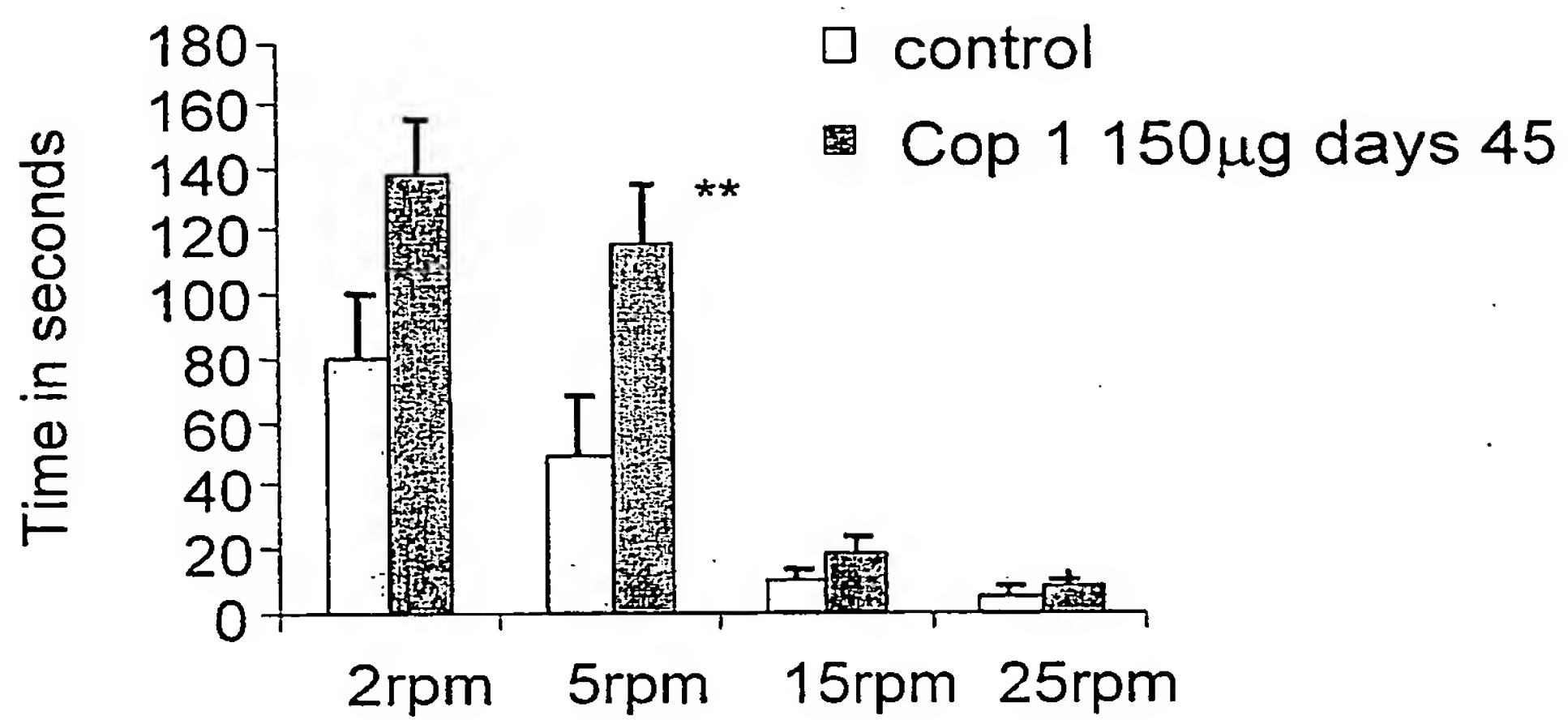


Fig. 9

6/14

C57BL/6J

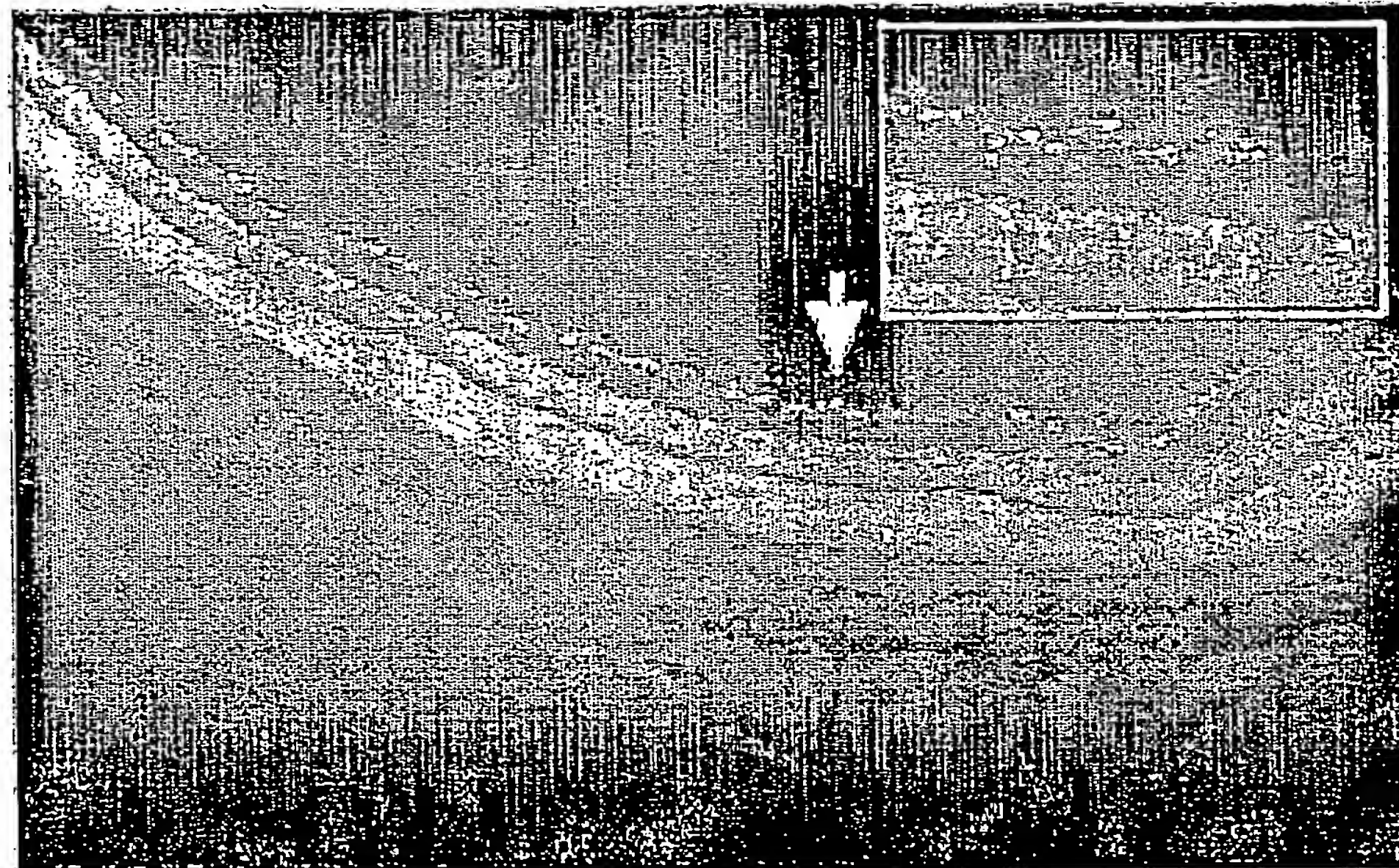


Fig. 10A

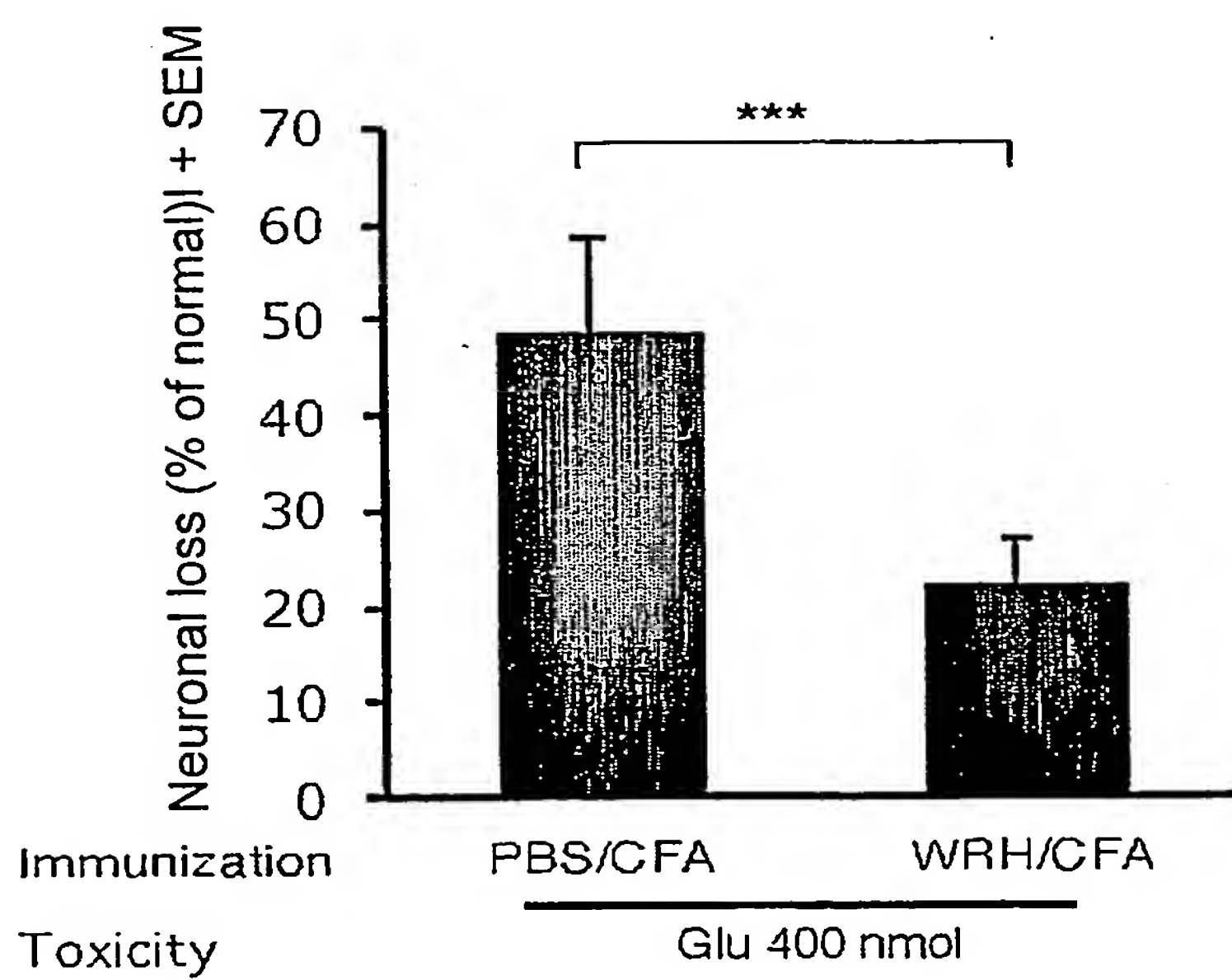


Fig. 10B

BEST AVAILABLE COPY

7/14

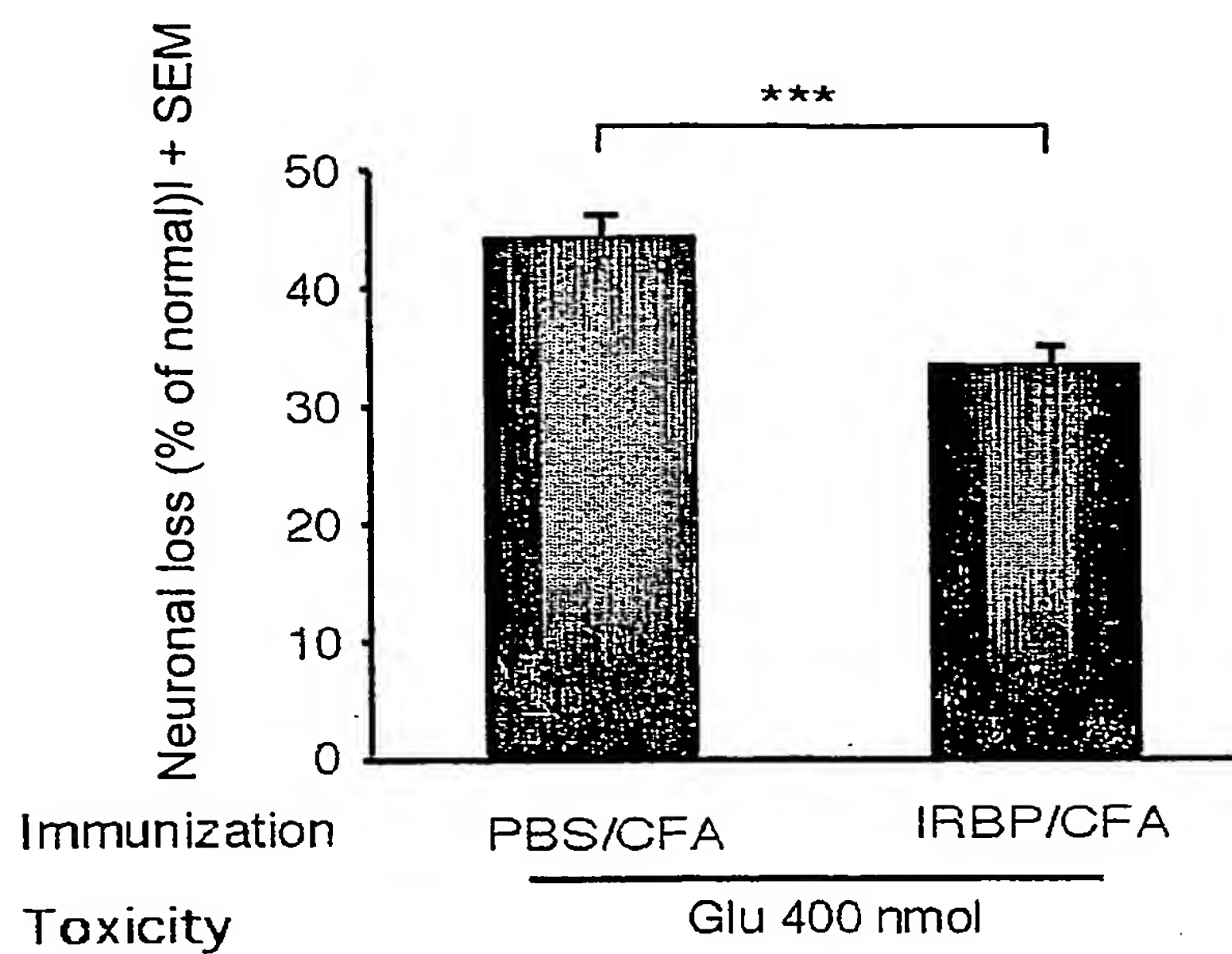


Fig. 10C

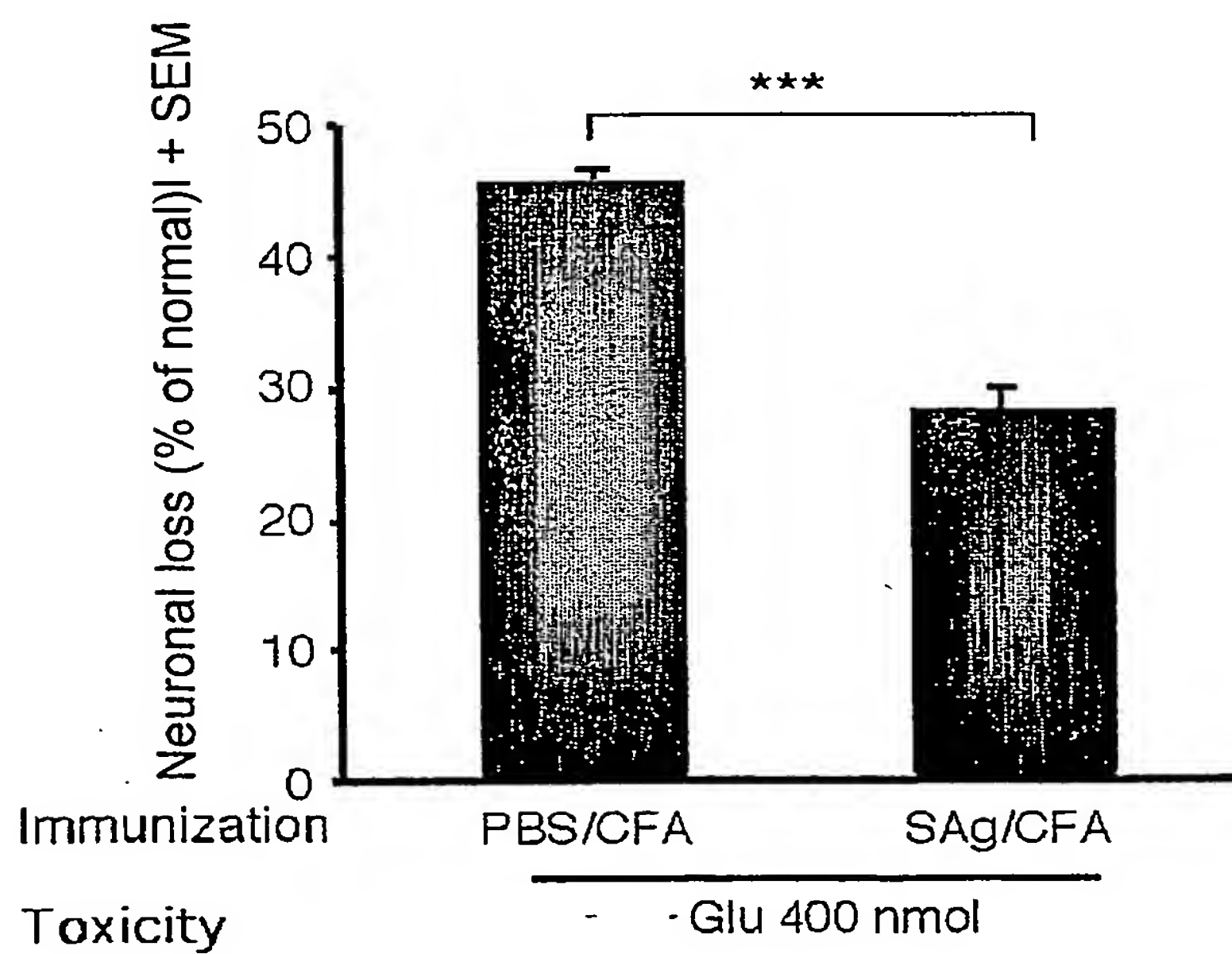


Fig. 10D

BEST AVAILABLE COPY

8/14

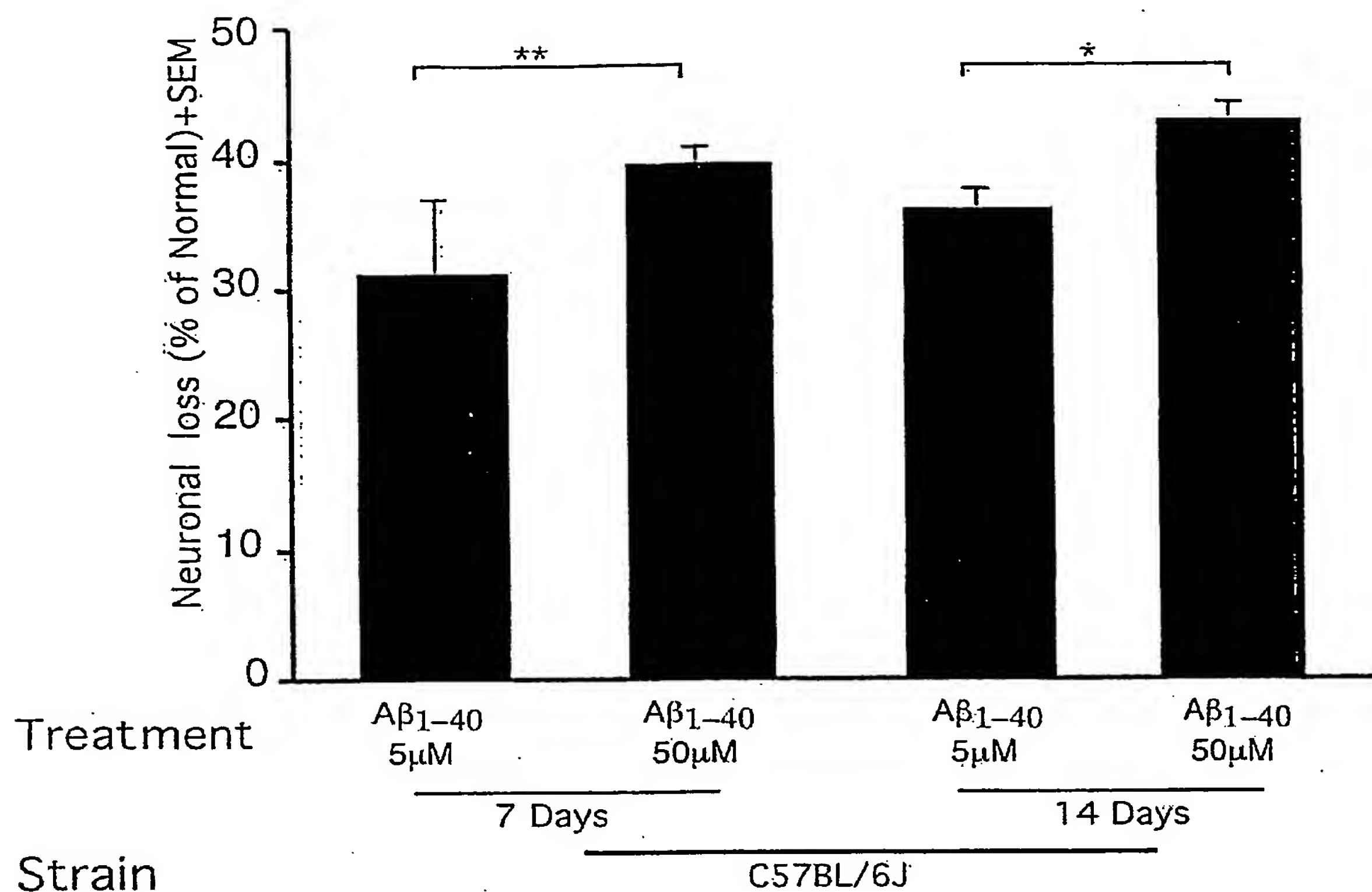
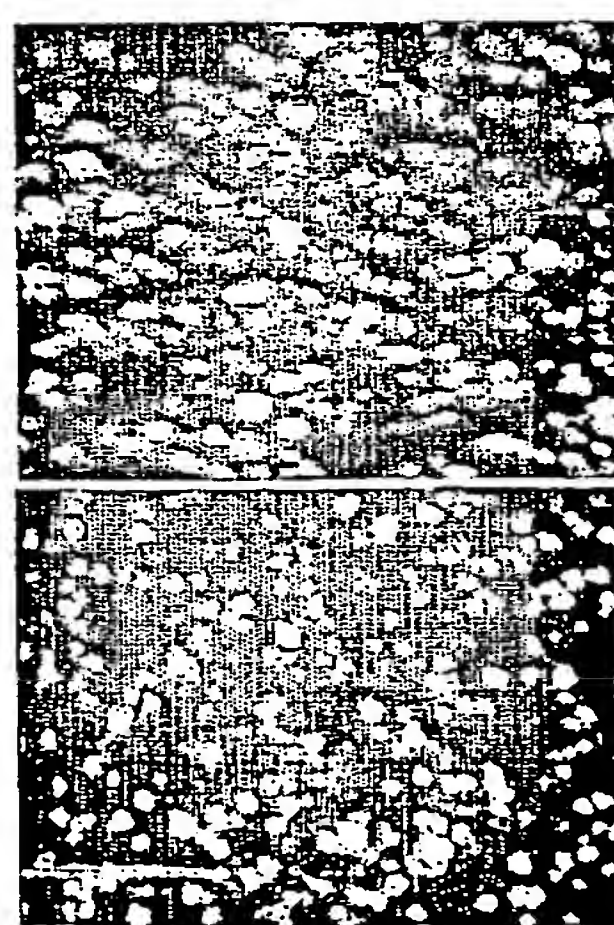


Fig. 11A

Fig. 11 B

Fig. 11 C

Aβ₁₋₄₀
50μM

C57BL/6J

+

BEST AVAILABLE COPY

9/14

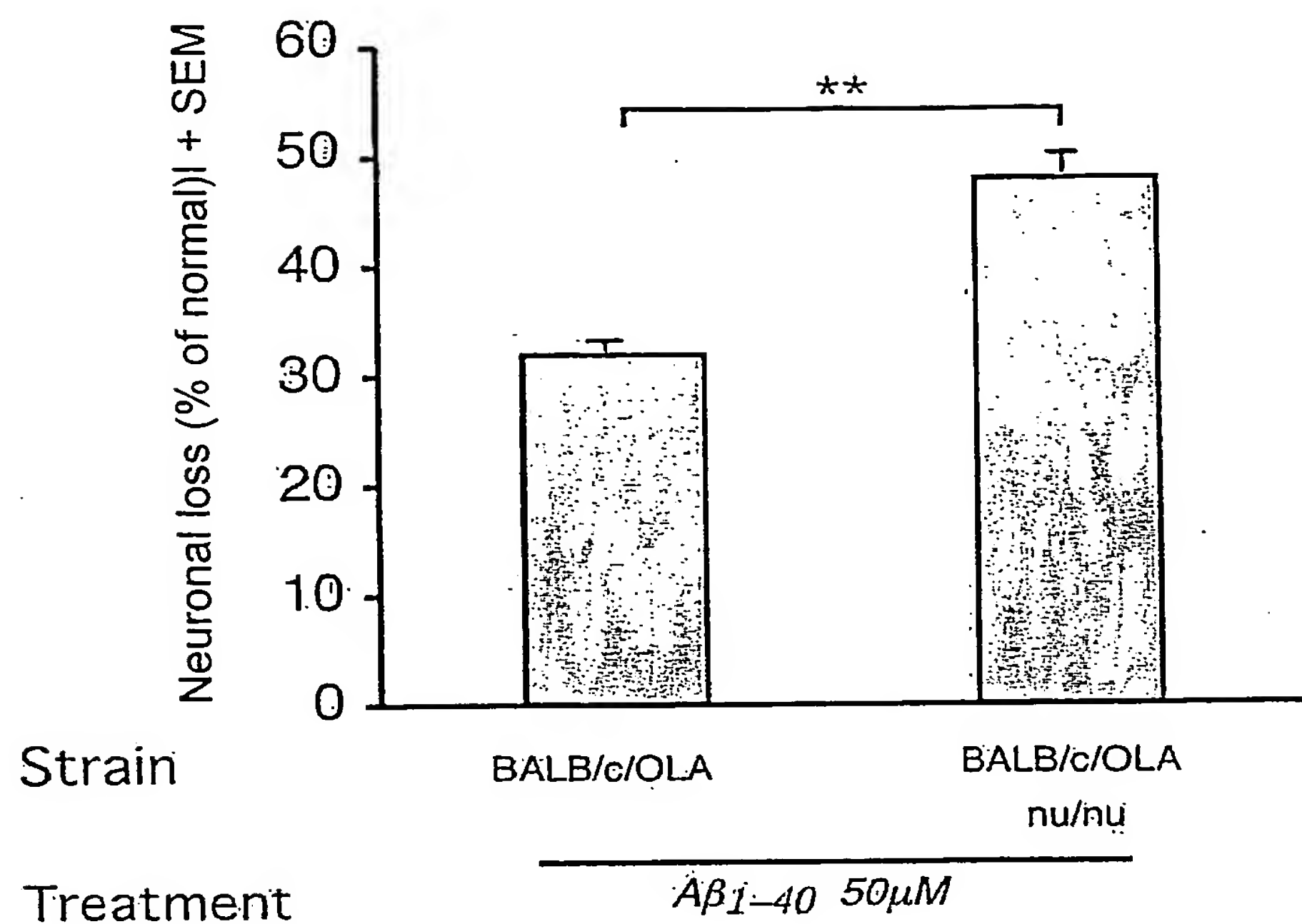
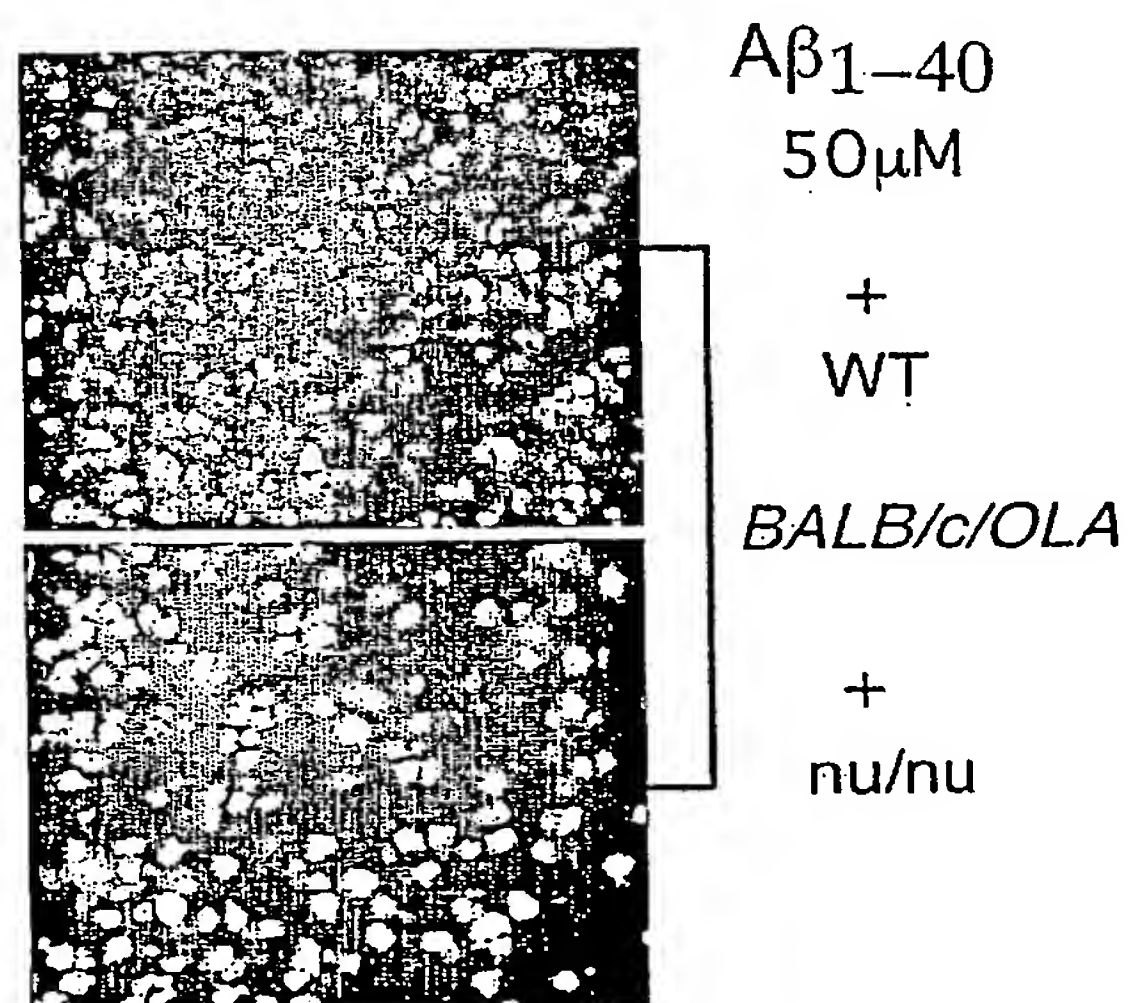


Fig. 11D

Fig. 11 E

Fig. 11 F



10/14

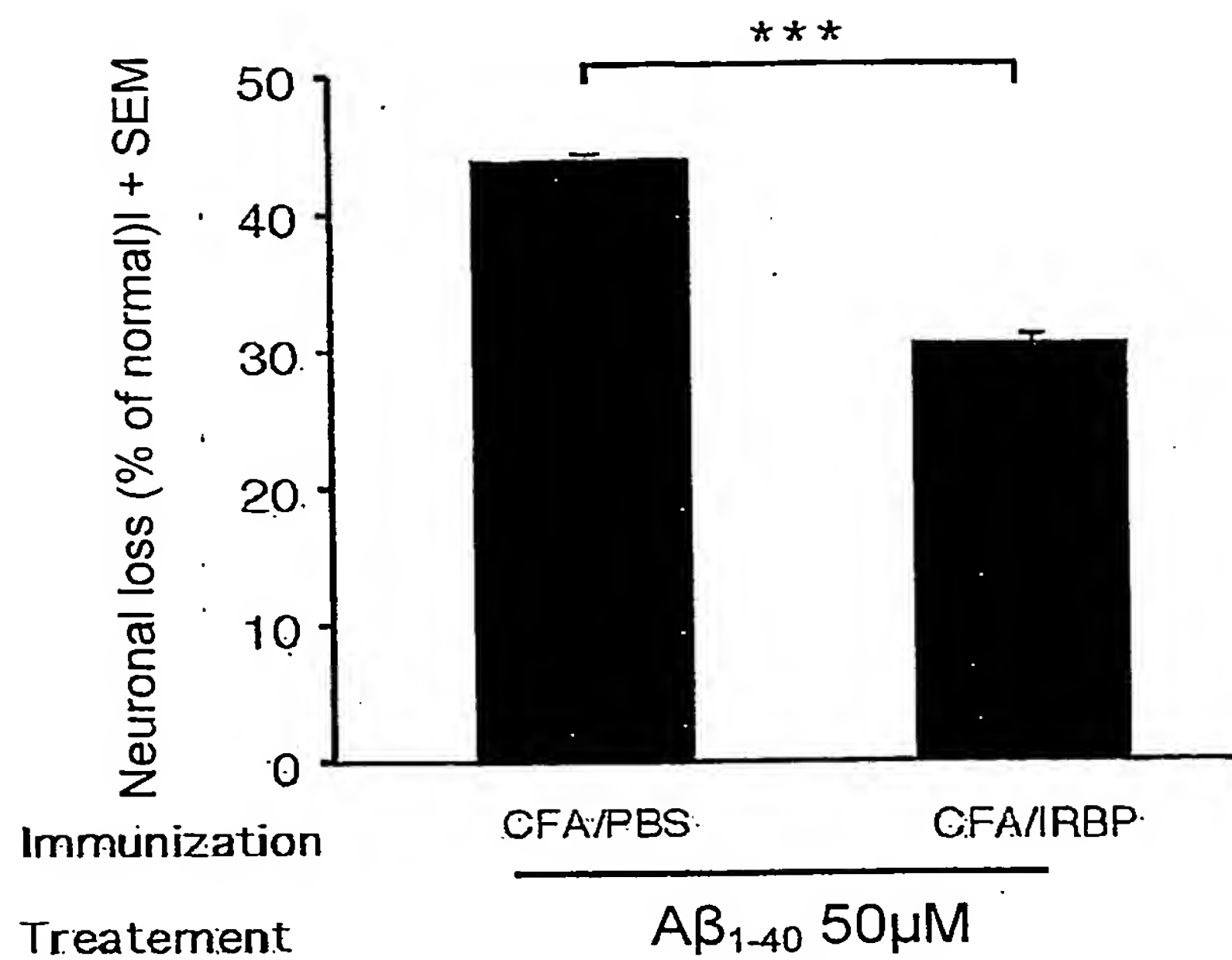


Fig. 12A

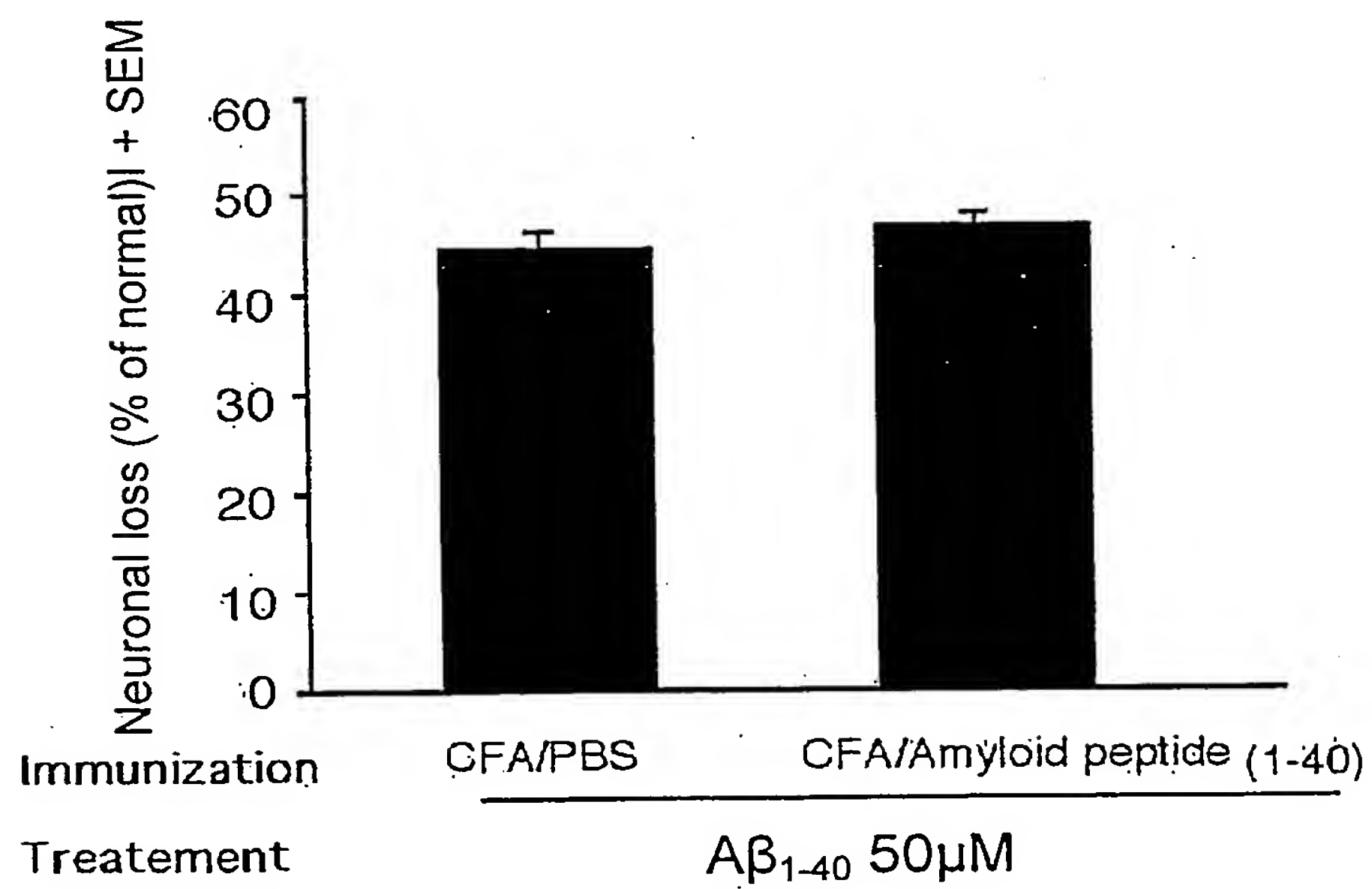


Fig. 12B

BEST AVAILABLE COPY

11/14

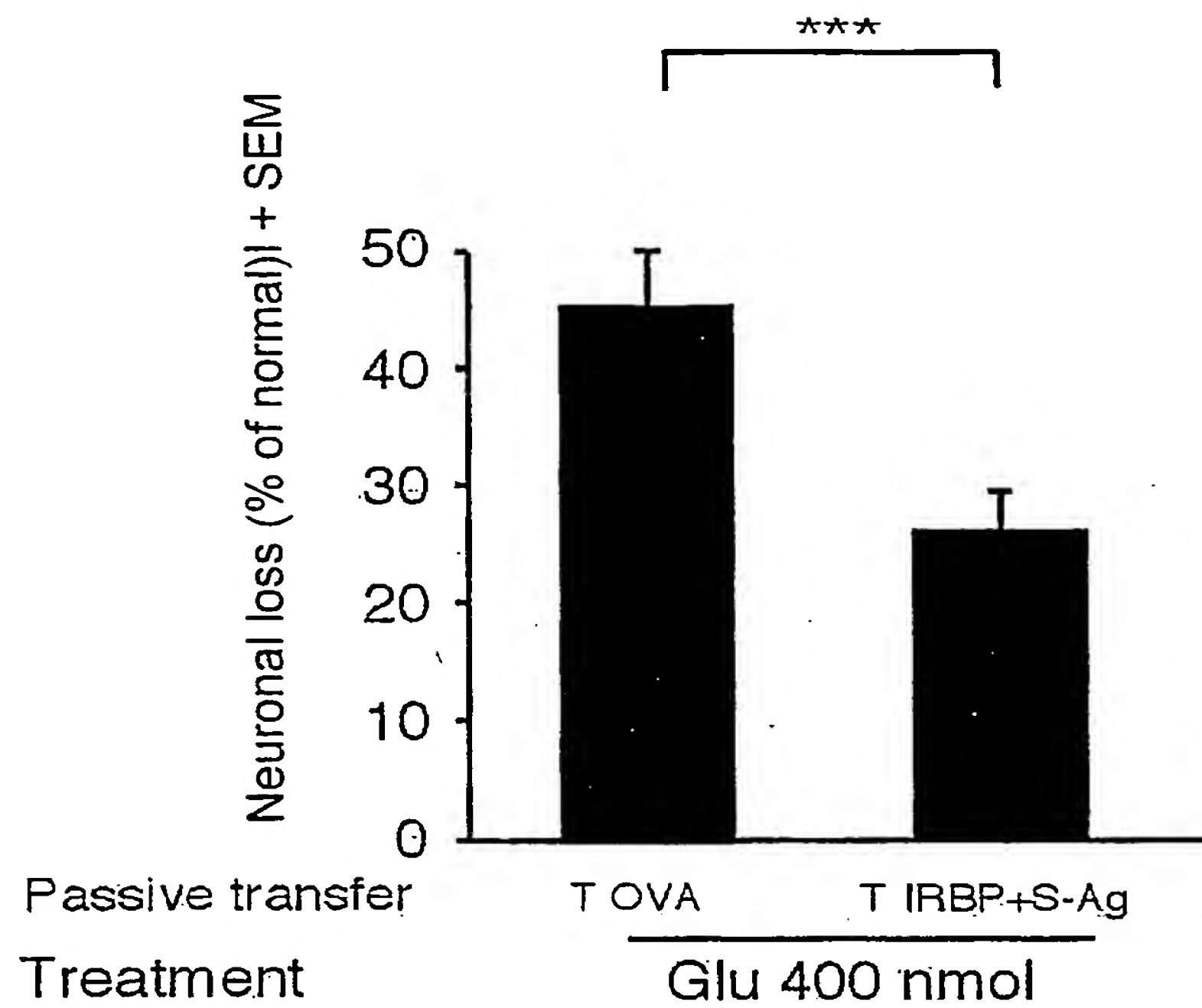


Fig. 13A

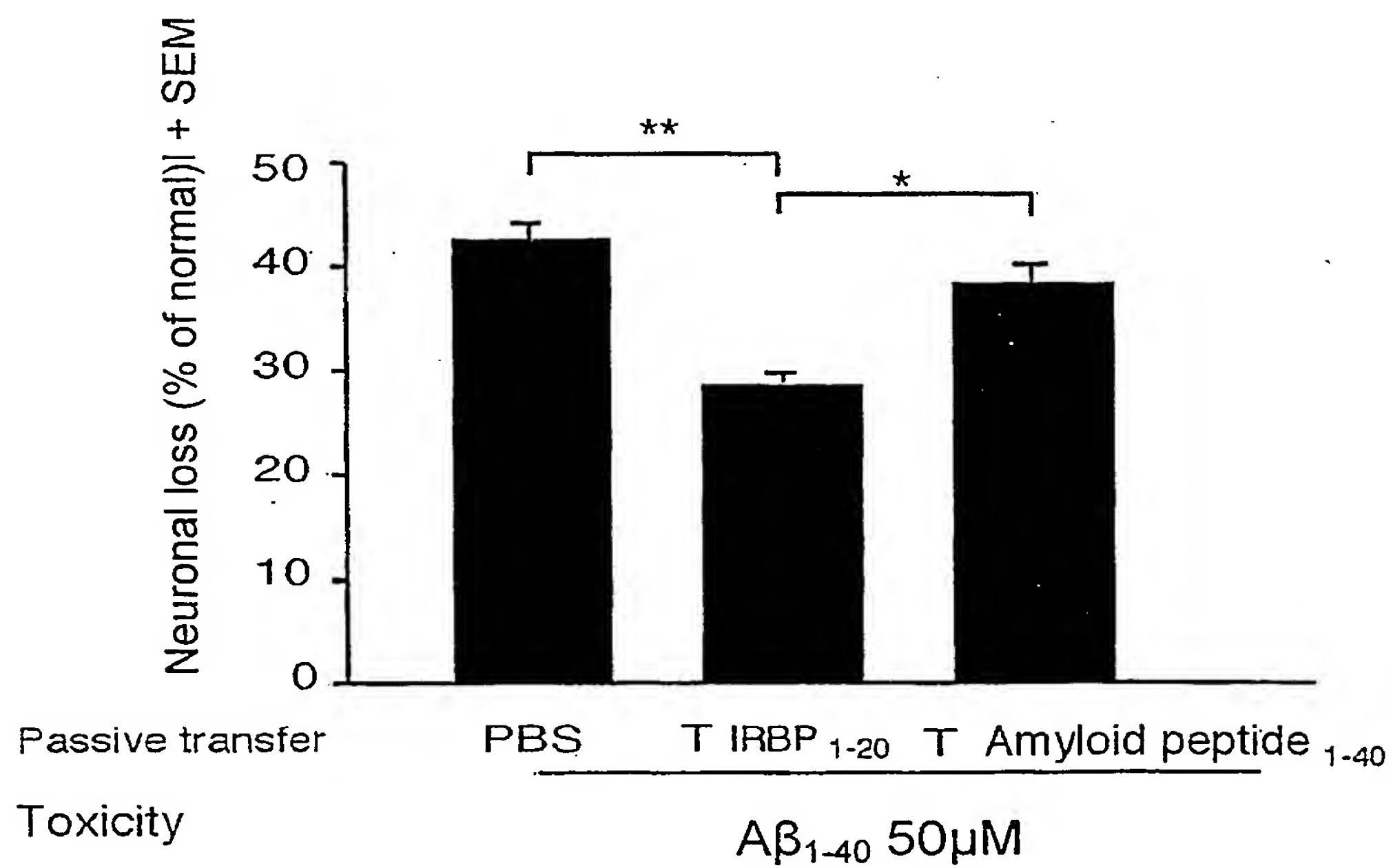


Fig. 13B

BEST AVAILABLE COPY

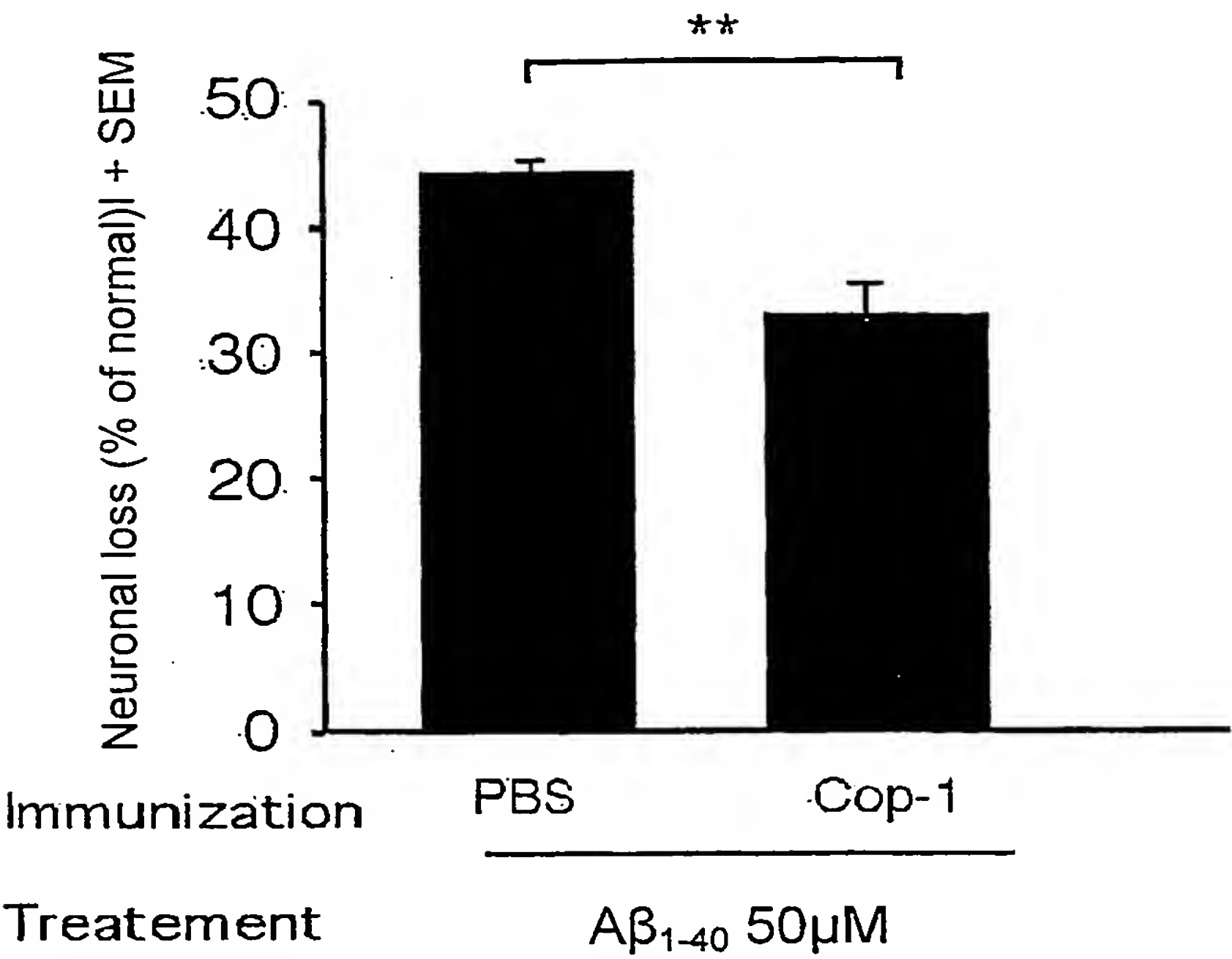


Fig. 14

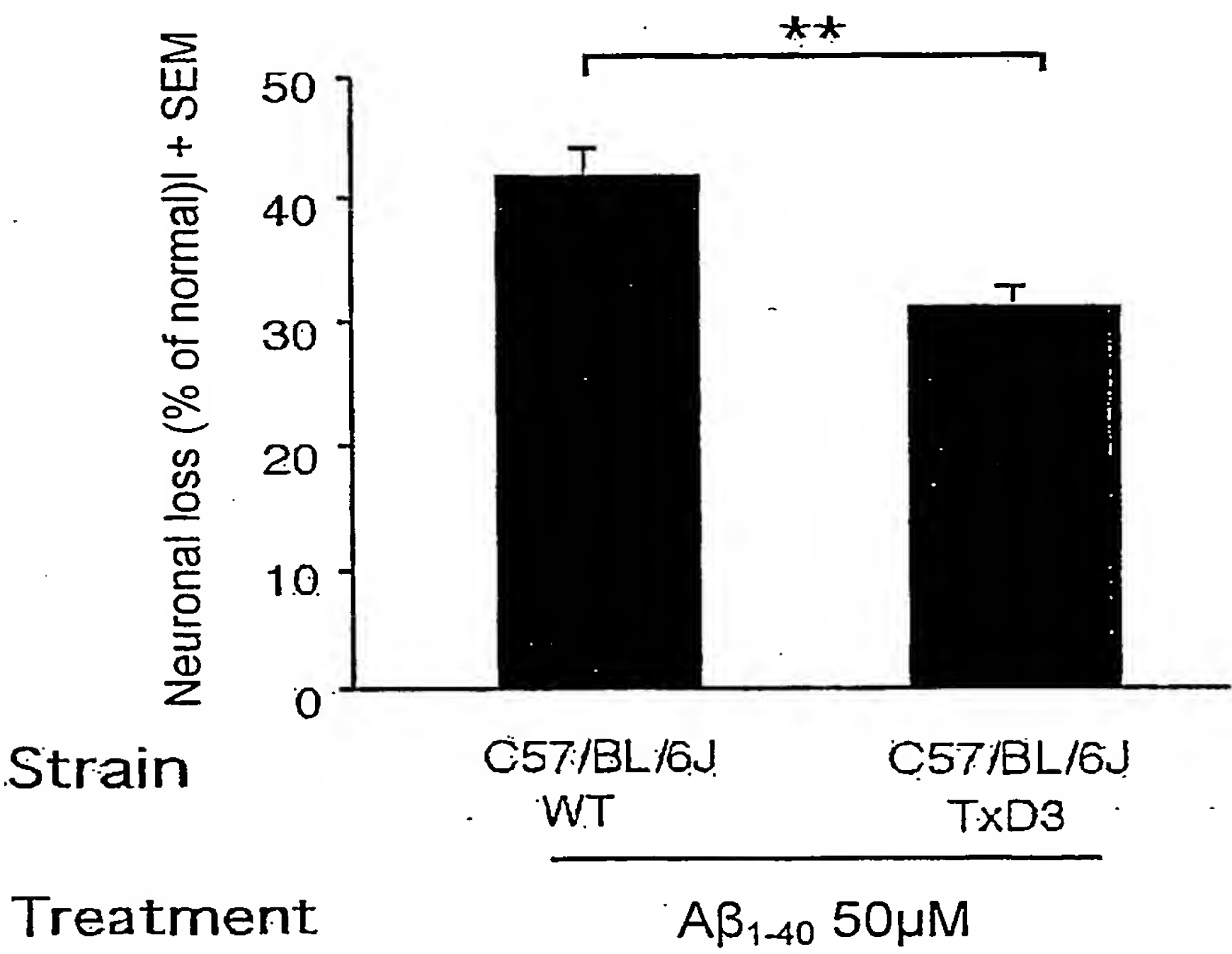


Fig. 15A

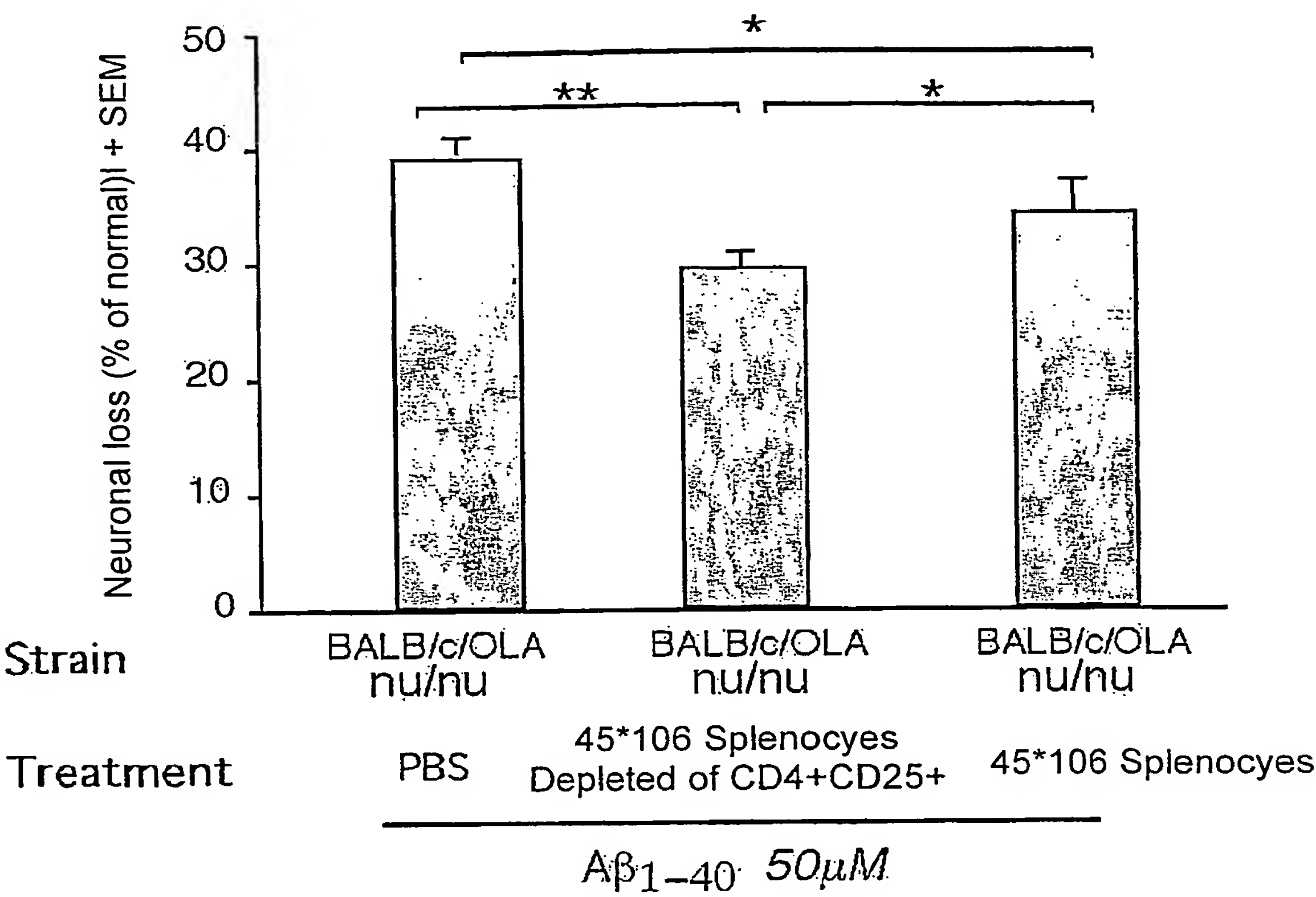


Fig. 15B

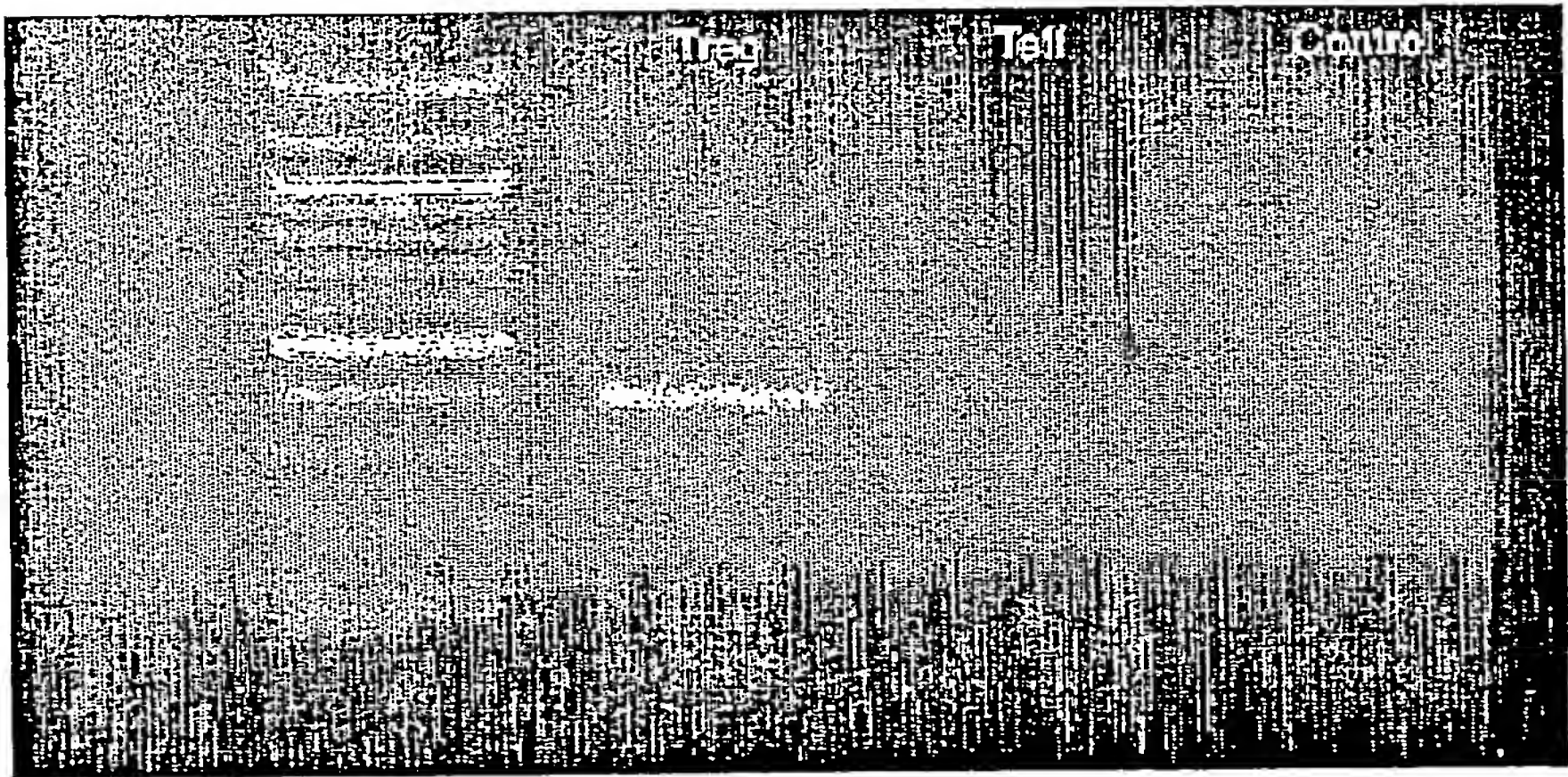


Fig. 15C

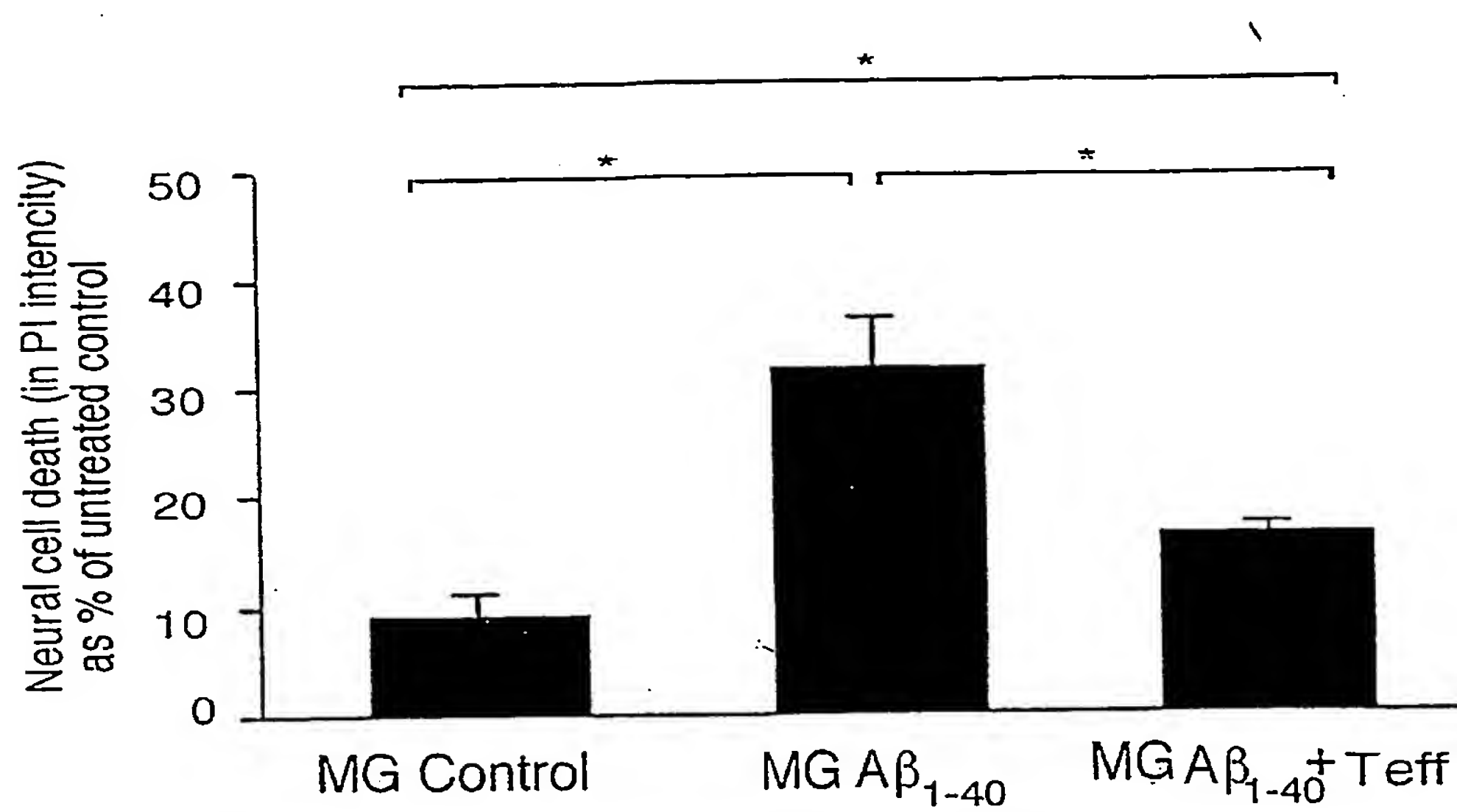


Fig. 16A

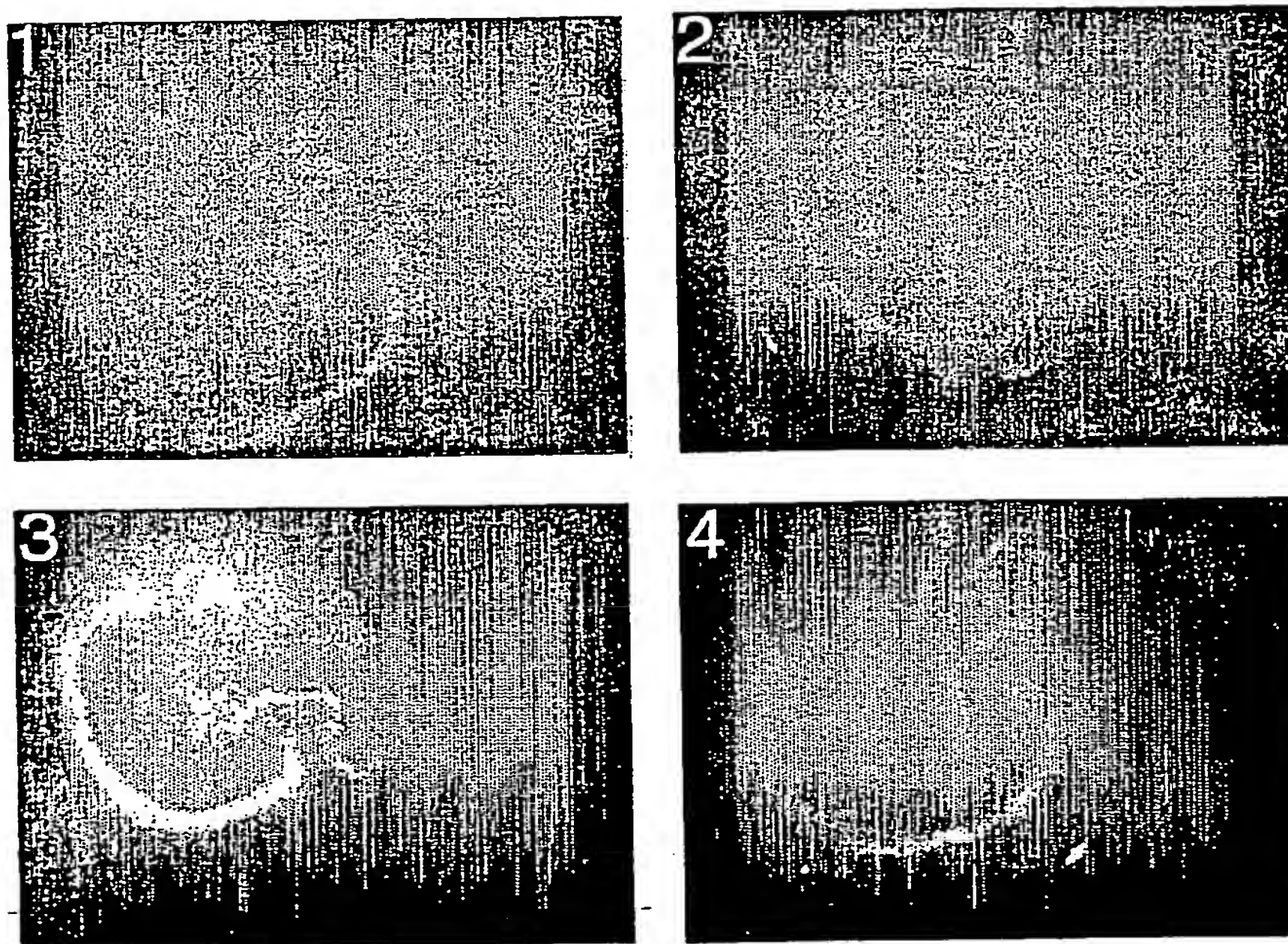


Fig. 16B

BEST AVAILABLE COPY